

## Comparison of the transfection efficiency of cationic virosome derived from vesicular stomatitis virus and the two commercial transfection reagents in HEK-293 and Vero cell lines

Delaram Ahmadi<sup>1</sup>, Mohsen Zargar<sup>1\*</sup>, Mohammad Reza Zolfaghari<sup>1</sup>, Monireh Kazemimanesh<sup>2</sup>, Amir Ghaemi<sup>3\*</sup>

1. Department of Microbiology, Faculty of Basic Science, Qom Branch, Islamic Azad University, Qom, Iran

2. Virology Department, Pasteur Institute of Iran, Tehran, Iran

3. Department of Influenza and other Respiratory Viruses, Pasteur Institute of Iran, Tehran, Iran

### Abstract

**Aims and Background:** Successful delivery of a gene to a target cell requires the development of a safer and more efficient gene transfer system. This study aimed to evaluate the transfection efficiency of cationic virosome derived from vesicular stomatitis virus (VSV) as a hybrid nano-carrier compared to two commercial transfection reagents including Lipofectamine™ 2000 and, GenJet™ in HEK-293 and, Vero cell lines.

**Material and Methods:** The transfection efficiency of VSV cationic virosome, Lipofectamine™ 2000, and GenJet™ was evaluated in HEK-293 and Vero cell lines using pEGFP-N1 plasmid transfection, fluorescent microscopy, and flow cytometry methods. Also, the toxicity of cationic virosome and commercial transfection reagents was investigated by the MTT test. The inhibitory effect of NH<sub>4</sub>Cl on virosome transfection efficiency was analyzed by fluorescent microscopy and flow cytometry.

**Results:** Our findings showed that the highest level of EGFP expression was obtained in cells transfected with Lipofectamine™ 2000. Transfection efficiency was significantly increased in both cells transfected with virosome/pEGFP-N1 compared to pEGFP-N1/GenJet™ ( $P < 0.05$ ,  $P < 0.01$ ). In addition, the results of cell viability analysis by MTT were consistent with the results obtained from the evaluation of transfection efficiency. Cells transfected with lipofectamine™ 2000 showed the highest survival rate. Cell viability was significantly higher in cells transfected with VSV cationic virosomes compared to cells transfected with GenJet™ ( $P < 0.05$ ). The results showed that transfection was inhibited in HEK-293 cells treated with NH<sub>4</sub>Cl.

**Conclusion:** VSV-derived cationic virosome containing VSV-G is an efficient hybrid nanocarrier with broad cellular tropism, which provides new insight into its application as a gene delivery system in gene therapy studies.

**Keywords:** Virosome, Transfection, Nanocarrier, Vesicular stomatitis virus, Gene therapy, Lipofectamine™ 2000, GenJet™, Iau Science.

#### **Corresponding author1:**

Department of Microbiology, Faculty of Basic Science, Qom Branch, Islamic Azad University, Qom, Iran

#### **Corresponding author2:**

Department of Influenza and other Respiratory Viruses, Pasteur Institute of Iran, Tehran, Iran

Email 1: zargar@qom-iau.ac.ir

Email 2: ghaem\_amir@yahoo.com

# مقایسه بازدهی ترانسفکشن واپرزووم کاتیونیک مشتق شده از ویروس وزیکولار استوماتیتیس و دو معرف ترانسفکشن تجاری در رده‌های سلولی Vero و HEK-293

دلارام احمدی<sup>۱</sup>، محسن زرگر<sup>۱\*</sup>، محمد رضا ذوالفقاری<sup>۱</sup>، منیره کاظمی منش<sup>۲</sup>، امیر قائمی<sup>۳</sup>

۱. گروه میکروب شناسی، دانشکده علوم پایه، واحد قم، دانشگاه آزاد اسلامی، قم، ایران

۲. بخش ویروس شناسی، انسیتو پاستور ایران، تهران، ایران

۳. بخش آنفلوانزا و ویروس‌های تنفسی شایع، انسیتو پاستور ایران، تهران، ایران

## چکیده

**سابقه و هدف:** تحويل موقعيت آمیز یک ژن به سلول هدف مستلزم ایجاد یک سیستم انتقال ژن این تر و کارآمدتر است. این مطالعه با هدف ارزیابی کارایی ترانسفکشن واپرزووم کاتیونیک مشتق شده از ویروس وزیکولار استوماتیتیس (VSV) به عنوان یک نانوحامل هیبریدی در مقایسه با دو معرف ترانسفکشن تجاری از جمله لیپوفکتمین ۲۰۰۰ و GenJet™ در دو رده سلولی Vero و HEK-293 انجام شد.

**مواد و روش‌ها:** بازدهی ترانسفکشن واپرزووم کاتیونیک VSV، لیپوفکتمین ۲۰۰۰ و GenJet™ در دو رده سلولی HEK-293 و Vero با استفاده از ترانسفکشن پلاسمید pEGFP-N1، میکروسکوپ فلورسنت و تکنیک فلوسایتومتری مورد ارزیابی قرار گرفت. همچنین، میزان سمیت واپرزووم کاتیونیک و معرف‌های تجاری ترانسفکشن به وسیله آزمون MTT بررسی گردید. اثر مهاری  $\text{NH}_4\text{Cl}$  بر روی بازده ترانسفکشن واپرزووم به وسیله میکروسکوپ فلورسنت و فلوسایتومتری آنالیز گردید.

**یافته‌ها:** یافته‌های ما نشان داد که بالاترین سطح بیان EGFP در سلول‌های ترانسفکت شده با لیپوفکتمین ۲۰۰۰ بدست آمد. بازده ترانسفکشن در هر دو رده سلولی ترانسفکت شده با واپرزووم / pEGFP-N1/GenJet™ در مقایسه با pEGFP-N1 داشت ( $P < 0.05$ ). به علاوه، نتایج آنالیز زنده مانی سلولی به وسیله MTT با نتایج بدست آمده از ارزیابی بازده ترانسفکشن تطابق داشت. سلول‌های ترانسفکت شده با لیپوفکتمین ۲۰۰۰ بالاترین میزان زنده مانی را از خود نشان دادند. زنده مانی سلولی در سلول‌های ترانسفکت شده با واپرزووم کاتیونیک VSV در مقایسه با سلول‌های ترانسفکت شده با GenJet™ به طور قابل توجهی بالاتر بود ( $P < 0.05$ ). نتایج نشان داد که در سلول‌های HEK-293 تیمار شده با  $\text{NH}_4\text{Cl}$ ، ترانسفکشن مهار گردید.

**نتیجه‌گیری:** واپرزووم کاتیونیک مشتق شده از ویروس VSV-G حاوی VSV-G یک نانوحامل هیبریدی کارآمد با تروپیسم سلولی وسیع است که بینشی جدید در مورد کاربرد به عنوان یک سیستم تحويل ژن در مطالعات ژن درمانی ارائه می‌دهد.

**وازگان کلیدی:** واپرزووم، ترانسفکشن، نانوحامل، ویروس وزیکولار استوماتیتیس، ژن درمانی، لیپوفکتمین ۲۰۰۰، GenJet™.

Iau Science

نویسنده مسئول:

۱. گروه میکروب شناسی، دانشکده علوم پایه، واحد قم، دانشگاه آزاد اسلامی، قم، ایران

۲. بخش آنفلوانزا و ویروس‌های تنفسی شایع، انسیتو پاستور ایران، تهران، ایران

پست الکترونیکی ۱: zargar@qom-iau.ac.ir

پست الکترونیکی ۲: ghaem\_amir@yahoo.com

تاریخ دریافت: ۱۴۰۲/۰۱/۱۱

تاریخ پذیرش: ۱۴۰۲/۰۳/۳۱

## مقدمه

تحقیقات پزشکی به لطف پیشرفت در فناوری نانو به سمت فرآیند تحويل موثر ژن از طریق نانوحامل‌ها سوق داده شده است (۱). حامل‌های تحويل ژن موثرتر و ایمن تر منجر به توسعه یک روش تحويل ژن موفق می‌شوند (۲). به طور

غشاء پلاسمایی، مثل فسفاتیدیل سرین (PS)، گیرنده لیپوپروتئین با چگالی پایین<sup>۵</sup> (LDL-R) و خانواده‌های آن، احتمالاً گیرنده‌های سطحی VSV خواهند بود (۱۳، ۱۴). در نتیجه، بیان وسیع این گیرنده‌ها بر روی سطوح اکثر سلول‌ها، می‌تواند پانترورپیسم بودن VSV را توضیح بدهد (۱۳). تمامی این ویزگی‌های ذکر شده به تحويل زن بیشتر واپرزوژوم VSV به طیف وسیعی از سلول‌های هدف نسبت به سایر واپرزوژوم‌ها کمک می‌کند. در مطالعه حاضر، با توجه به اهمیت روزافزون زن درمانی برای درمان و یا جلوگیری از برخی بیماری‌ها و همچنین با هدف ارزیابی و ساخت حامل‌های تحويل زن موثرتر و ایمن‌تر که قادر به غلبه بر موانع ناقلین ویروسی و غیر ویروسی باشند، برای اولین بار به بررسی و مقایسه بازدهی ترانسفکشن واپرزوژوم کاتیوبنیک مشتق شده از ویروس VSV به عنوان یک نانوحامل سنتیک هیبرید و دو معروف ترانسفکشن تجاری از جمله لیپوفکتامین ۲۰۰۰<sup>۶</sup> و GenJet<sup>TM</sup> جهت تحويل DNA پلاسمیدی (pDNA) به رده‌های سلولی HEK-293<sup>۷</sup> و Vero با منشاء‌های مختلف پرداخته شد.

## مواد و روش‌ها

### مواد شیمیایی و معرف‌ها

معرف‌های ترانسفکشن لیپوفکتامین ۲۰۰۰ (Invitrogen, USA) و GenJet<sup>TM</sup> (SignaGen<sup>®</sup> Laboratories, USA) خریداری شدند. همچنین رنگ MTT (Sigma, Aldrich, Germany) تهیه گردید. آنزیم تریپسین، محیط کشت سلولی DMEM<sup>۸</sup> و سرم جنین گاوی (FBS) از شرکت Gibco آمریکا خریداری شدند.

### کشت سلول

برای انجام این مطالعه تجربی سلول‌های کلیوی جنینی انسانی (HEK-293) و سلول‌های کلیه میمون سبز آفریقایی (Vero cells) از بانک سلولی انسستیتو پاستور (تهران، ایران) تهیه شده و در محیط کشت سلولی DMEM حاوی ۱۰ درصد FBS و آنتی بیوتیک پنی سیلین (100 U/mL)<sup>۹</sup> (استرپتومایسین (100 µg/mL))، به مدت ۲۴ ساعت در انکوباتور ۳۷ درجه سلسیوس و ۵ درصد CO<sub>2</sub> کشت داده شدند.

<sup>7</sup> Human Embryonic Kidney 293

<sup>8</sup> 3-(4,5-dimethylthiazol-2-yl)-2, 5-diphenyl tetrazoliumbromide

<sup>9</sup> Dulbecco's modified eagles' medium

<sup>10</sup> Fetal bovine serum

کلی، ناقل‌های ویروسی و غیر ویروسی دو نوع اصلی سیستم‌های تحويل هستند<sup>(۳)</sup>. اگرچه ناقلین ویروسی منجر به بازده ترانسفکشن و انتقال بالایی در طیف وسیعی از سلول‌ها می‌شوند، اما توسعه آن‌ها به طور قابل توجهی به دلیل کاستی‌های متعدد، از جمله اینمی زایی و جهش القایی، متوقف می‌شود<sup>(۱، ۴)</sup>. در مقابل، ناقلین غیر ویروسی به دلیل زیست سازگاری، سمیت سلولی کم، سادگی تولید انبیو و هزینه تولید کم، نظرات قابل توجهی را به عنوان جایگزین امیدوارکننده‌ای برای ناقل‌های ویروسی به خود جلب کرده‌اند. با این حال، راندمان پایین تر سیستم‌های غیر ویروسی، کاربرد آن‌ها را به عنوان ناقلین تحويل موثر محدود کرده است<sup>(۳، ۵)</sup>. به منظور غلبه بر این مشکلات، توسعه سیستم‌های واپرزوژومی با مزایای هر دو سیستم ویروسی و غیر ویروسی می‌تواند انتخاب ایده‌آلی باشد<sup>(۶)</sup>. واپرزوژوم‌ها نانوحامل‌های هیبرید غیر سمی و زیست تجزیه پذیری هستند که در ساختار مشابه ویروس‌های پوشش دار اما فاقد نوکلئوکپسید هستند<sup>(۷)</sup>. این وزیکول‌های تک لایه نیمه سنتیک، که به عنوان حاملین برای مولکول‌های بیولوژیکی فعال عمل می‌کنند، می‌توانند از طریق گلیکوپروتئین سطحی غشاء خود به صورت اختصاصی به گیرنده‌های سلولی متصل و با غشاء‌های هدف ادغام شوند<sup>(۸)</sup>. واپرزوژوم اولین بار توسط Almeida و همکارانش از طریق وارد کردن پروتئین‌های اسپایک و ویروس آنفلوانزای تخلیص شده به درون لیپوزوم ساخته شد<sup>(۹)</sup>. پس از آن، آماده سازی طیف وسیعی از پوشش‌های ویروسی از جمله Semliki Forest Virus (SFV) ویروس آنفلوانزا<sup>۱۰</sup>، ویروس VSV<sup>۲</sup> و ویروس سیندیس<sup>۴</sup> با راندمان-های متفاوت انجام شد<sup>(۹)</sup>. ویروس وزیکولار استوماتیتیس یک ویروس پوشش دار متعلق به خانواده رابدوویروس‌ها است<sup>(۱۰)</sup>. این ویروس پتانسیل بالقوه‌ای را در عفونت زایی Vesicular Stomatitis virus (G) از خود نشان میدهد<sup>(۱۱)</sup>. همچنین، نشان داده شده است که VSV-G از طریق تغییرات کانفورماتیون قابل برگشت، در فیوژن غشائی در شرایط اسیدی دخالت دارد که پس از این فرآیند در محیط‌های خنثی، به حالت اولیه خود باز می‌گردد<sup>(۱۲)</sup>. تا VSV به امروز، تلاش‌ها برای شناسایی گیرنده‌های سلولی ادامه دارد. برخی مطالعات نشان دادند که محتويات لیپیدی

<sup>1</sup> Influenza Virus

<sup>2</sup> Sendai Virus

<sup>3</sup> Vesicular Stomatitis Virus

<sup>4</sup> Sindbis Virus

<sup>5</sup> low density lipoprotein receptor

<sup>6</sup> Lipofectamine<sup>TM</sup> 2000

واپریزوم کاتیونی

در این مطالعه از واپروروم کاتیونیک مشتق شده از ویروس وزیکولار استوماتیتیس سنتر و تایید شده در مطالعه قبلی (۱۵) استفاده گردید.

## تکثیر و استخراج پلاسمید

به منظور تکثیر پلاسمید pEGFP-N1 (Clontech Laboratories, USA) ابتدا باکتری Escherichia coli (DH5α) (انستیتو پاستور، ایران) با استفاده از روش سویه شوک گرمایی و به وسیله روش شیمیایی کلرید کلسیم (CaCl<sub>2</sub>) ترانسفورم شد (۱۶). باکتری های ترانسفورم شده در پلیت LB Agar (Luria Bertani agar) حاوی ۱۰۰ میکروگرم بر میلی لیتر آنتی بیوتیک کانامایسین کشت داده شده و به مدت ۱۶-۲۴ ساعت در ۳۷ درجه سلسیوس انکوبه شد. پس از انکوباسیون، تک کلونی هایی از باکتری های ترانسفورم شده در محیط کشت LB Broth (Luria Bertani Broth) حاوی آنتی بیوتیک کانامایسین در داخل شیکر انکوباتور به مدت ۱۶-۲۴ ساعت کشت داده شدند. در نهایت باکتری های رشد کرده از انکوباتور خارج شده و پس از رسوبگیری با سانتریفیوژ در دور rpm ۹۰۰۰ به مدت ۳ دقیقه، استخراج پلاسمید با استفاده از کیت (Qiagen) Endo-Free Plasmid Maxi Kit Germany و طبق دستورالعمل سازنده انجام شد.

ترانسفکشن

در مطالعه حاضر، بازده ترانسفکشن واپروزوم کاتیونیک VSV و دو معرف تجاری ترانسفکشن لیپوفکتامین ۲۰۰۰ و GenJet™ در دو رده سلولی HEK-293 و Vero در ارزیابی قرار گرفت. به طور خلاصه، ۲۴ ساعت قبل از ترانسفکشن تعداد  $1 \times 10^5$  سلول HEK-293 و Vero در دو پلیت ۲۴ خانه و در محیط کشت سلولی DMEM به همراه ۱۰ درصد FBS، ۱۰۰ میکروگرم بر میلی لیتر پنی سیلین، ۱۰۰ میکروگرم بر میلی لیتر استرپتومایسین و دی اکسید کربن ۵ درصد در دمای ۳۷ درجه سلسیوس کشت داده شد. با رسیدن تراکم سلولی به ۶۰-۷۰ درصد، ترانسفکشن انجام شد. جهت آماده سازی کمپلکس pEGFP-N1، ۵ ماکروگرم از پلاسمید- واپروزوم pEGFP-N1 با ۵ ماکروگرم از واپروزوم کاتیونیک VSV در محیط N1 با ۳۰ دقیقه در دمای اتاق کشت سلولی DMEM به مدت ۳۰ دقیقه در دمای اتاق انکوبه شد. از سه، دیگ، کمپلکس های لیپوفکتامین:

دستورالعمل سازنده آماده شدند. در مرحله بعد، محیط‌های کشت درون چاهک‌ها با ۳۰۰ ماکرولیتر محیط کشت سلولی تازه و فاقد FBS جایگزین شده و کمپلکس‌های آماده شده به صورت قطره قطره به هر چاهک اضافه شدند. پلیت‌ها برای ۴ ساعت در انکوباتور با دمای ۳۷ درجه سلسیوس و دی‌اکسید کربن ۵ درصد انکوبه شدند. همچنانی، هر دو رده سلولی با پلاسمید pEGFP-N1 به تنها‌بای نیز ترانسفکت گردیدند. در این مطالعه، سلول‌های ترانسفکت نشده به عنوان گروه کنترل منفی در نظر گرفته شدند. ۴ ساعت پس از ترانسفکشن، ۵۰۰ ماکرولیتر از محیط کشت سلولی DMEM تازه به همراه ۱۰ درصد FBS به هر چاهک اضافه شده و پلیت‌ها برای ۴۸ ساعت در انکوباتور با دمای ۳۷ درجه سلسیوس و دی‌اکسید کربن ۵ درصد انکوبه شدند.

پس از این مدت زمان، تجزیه و تحلیل بیان EGFP در هر دو رده سلولی با استفاده از میکروسکوپ فلورسنت معکوس (INVERSO TC100 Epi Fluor, UK) انجام شد. متعاقباً، سلول‌ها دو مرتبه توسط بافر فسفات سالین (PBS) استریل شسته شده و با آنزیم تریپسین-EDTA (۰/۲۵ میلی‌لتر) در صد، تریپسینه شدند. در نهایت آنالیز کمی در صد بازده ترانسفکشن (سلول‌های GFP مثبت) هر گروه به روش فلوسایتومتری و با استفاده از دستگاه Partec Cyflow counter انجام شد. تمامی آنالیزها به صورت تکرارهای سه تا پانزده انجام شدند.

## اثر مهارکنندگی $\text{NH}_4\text{Cl}$ بر روی بازده ترانسفکشن واپروزوم کاتیونی

یک عامل لیزوزوموتروپیک شناخته شده برای  $\text{NH}_4\text{Cl}$  جلوگیری از اسیدی شدن اندازوم است (۱۷). به منظور بررسی اینکه آیا ترانسفکشن به واسطه واپروزوم کاتیونیک VSV وابسته به pH است یا خیر، سلول های HEK-293 حدود ۲۰ دقیقه قبل از ترانسفکشن با  $\text{NH}_4\text{Cl}$  ۲۰ مولار پیش تیمار شدند. یک گروه بدون تیمار نیز در این مرحله در نظر گرفته شد. ۲۰ دقیقه پس از تیمار، ترانسفکشن سلول های HEK-293 توسط واپروزوم کاتیونیک VSV به همان صورت که در بالا توضیح داده شد، صورت گرفت. با گذشت ۴۸ ساعت از زمان انکوباسیون، سلول ها با استفاده از میکروسکوپ فلورسنت مورد بررسی قرار گرفتند. در نتیجه، سلول های باء، این باء، کم ممتاز بیان EGFP د.

## <sup>11</sup> Phosphate buffered saline

تازه فاقد سرم FBS جایگزین شد. سپس همان طور که در بالا توضیح داده شد، سلول‌ها با کمپلکس‌های واپرزووم/pEGFP-N1، لیپوفکتامین ۲۰۰۰/pEGFP-N1/GenJet™ N1 و سلول‌های ترانسفکت نشده و سلول‌هایی که تنها با پلاسمید pEGFP-N1 ترانسفکت شدند به عنوان گروه‌های کنترل در نظر گرفته شدند. پس از ۴۸ ساعت انکوباسیون در دمای ۳۷ درجه سلسیوس، محیط داخل چاهک‌ها تخلیه شده و ۱۰۰ ماکرولیتر رنگ MTT با غلظت ۵ میلی گرم/میلی لیتر به چاهک‌ها اضافه گردیده و سلول‌ها برای ۴ ساعت دیگر در دمای ۳۷ درجه سلسیوس انکوبه شدند. سپس کریستال‌های فورمازان در ۱۰۰ ماکرولیتر DMSO حل شده و جذب نوری در طول موج ۵۴۰ نانومتر در برابر طول موج رفرنس ۶۹۰ نانومتر به وسیله دستگاه الایزا ریدر (BioTek-USA) خوانش شد. درصد بقاء سلولی در گروه کنترل منفی ۱۰۰ منظور شده و هر تست حداقل سه بار تکرار شد. درصد سلول‌های زنده با استفاده از رابطه (۱) محاسبه گردید (۱۹).

۴۵

سلول‌های HEK-293 به روش فلوسایتومتری مورد بررسی قرار گرفتند. هر تست به صورت تکرارهای سه تایی انجام شد.

### سنجدش سمیت سلولی با تست MTT

به منظور بررسی اثر واپرزووم کاتیونیک VSV، لیپوفکتامین ۲۰۰۰ و GenJet™ بر رشد و تکثیر سلول‌های HEK-293 و Vero، از روش رنگ سنجی MTT استفاده شد. اساس این روش، شکسته شدن نمک تتراتزوپلیوم توسط آنزیم سوکسینات دهیدروژناز میتوکندریایی سلول‌های زنده است. در این روش، مقدار دانسیته نوری هر چاهک نشان دهنده میزان تغییر رنگ زرد به بنفش ناشی از فعالیت دهیدروژناز میتوکندریهای سلول‌های زنده است (۱۸). به طور خلاصه، سلول‌های HEK-293 و Vero با تراکم  $3 \times 10^4$  سلول به ازای هر چاهک در دو پلیت ۹۶ خانه برای مدت ۲۴ ساعت در دمای ۳۷ درجه سلسیوس کشت داده شدند. قبل از ترانسفکشن، محیط کشت سلولی داخل چاهک‌ها با ۱۰۰ ماکرولیتر محیط کشت DMEM رابطه (۱) :

$$\frac{\text{میانگین جذب نوری سلول‌های ترانسفکت شده}}{\text{میانگین جذب نوری سلول‌های کنترل}} \times 100 = \text{درصد زنده مانی سلول}$$

با استفاده از پلاسمید pEGFP-N1 و بر روی GenJet™ دو رده سلولی HEK-293 و Vero صورت گرفت. ۴۸ ساعت پس از ترانسفکشن، ارزیابی‌های کیفی و کمی به ترتیب به وسیله میکروسکوپ فلورسنت و روش فلوسایتومتری انجام شد (شکل ۱A). نتایج میکروسکوپ فلورسنت که در شکل ۱A نشان داده شده است، بیانگر بیان EGFP در گروه‌های ترانسفکت شده هر دو رده سلولی HEK-293 و Vero میباشد. با این حال، سلول‌های ترانسفکت نشده و سلول‌هایی که با پلاسمید تنها ترانسفکت شده بودند، هیچ گونه بیان EGFP از خود نشان ندادند. از سوی دیگر، درصد بیان EGFP (بازده ترانسفکشن)، ۴۸ ساعت پس از ترانسفکشن با استفاده از تکنیک فلوسایتومتری و آزمون آماری واریانس (ANOVA) و متعاقب آن تست توکی (Tukey) آنالیز گردید (شکل ۱B). نتایج بیانگر تفاوت‌های آماری معنی داری بین گروه‌های ترانسفکت شده در مقایسه با گروه کنترل در هر دو رده سلولی بود: گروه کنترل و واپرزووم/pEGFP-N1 ( $P < 0.0001$ )، گروه کنترل و pEGFP-N1/GenJet™ ( $P < 0.0001$ ) و گروه کنترل و لیپوفکتامین ( $P < 0.0001$ ) در رده سلولی pEGFP-N1 /۲۰۰۰ ( $P < 0.0001$ )

### روش تجزیه و تحلیل داده‌ها

تجزیه و تحلیل‌های آماری با استفاده از نرم افزار گراف پد پریس نسخه ۸ (Graph Pad Prism version 8.0) انجام شد. جهت بررسی و آنالیز آماری داده‌ها از روش آزمون آنالیز واریانس (ANOVA) به دنبال آزمون تعقیبی توکی (Tukey's post-hoc Test) و آزمون تی-استیودنت (Student t-test) استفاده گردید. کلیه نتایج بدست آمده به صورت میانگین  $\pm$  انحراف معیار (Mean  $\pm$  SD) گزارش گردید. مقادیر  $< 0.05$ ,  $P < 0.01$ ,  $P < 0.001$ ,  $P < 0.0001$ ,  $P < 0.00001$  به عنوان سطح معنی داری نتایج در نظر گرفته شدند.

### یافته‌ها

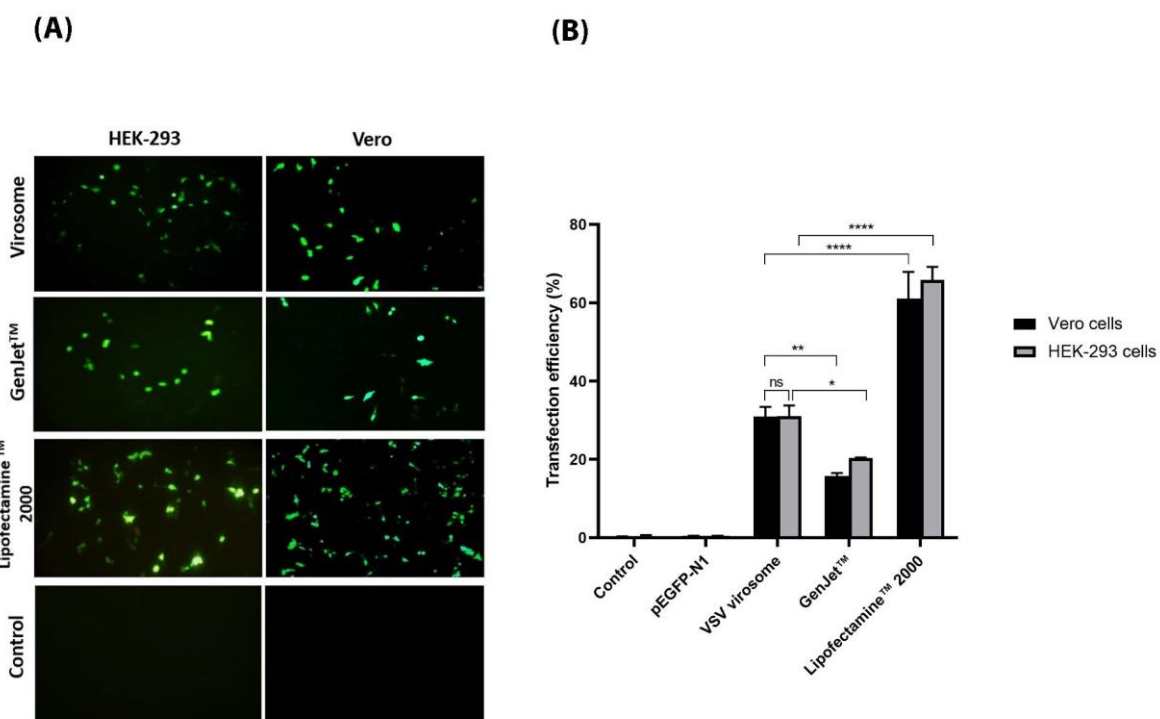
#### ارزیابی بازدهی ترانسفکشن

به منظور بررسی بازده ترانسفکشن واپرزووم کاتیونیک VSV به عنوان یک حامل ژن هیبرید، یک مطالعه مقایسه‌ای با دو معرف ترانسفکشن تجاری لیپوفکتامین ۲۰۰۰ و

از خود نشان نداد ( $P > 0.05$ ). همان طور که در **شکل ۱B** مشخص شده است، واپرزووم VSV، بازده ترانسفکشن چشمگیر بالاتری نسبت به GenJet™ در سلول‌های HEK-293 ( $P < 0.05$ ) و Vero ( $P < 0.01$ ) در VSV نشان داد. براساس این یافته‌ها، واپرزووم کاتیونیک VSV سنتز شده در این مطالعه می‌تواند یک سیستم تحویل ژن موثر در سلول‌های با منشاء مختلف باشد. علاوه بر این، این واپرزووم کاتیونیک می‌تواند یک نانوحامل قابل مقایسه با معرف‌های ترانسفکشن تجاری موجود از جمله GenJet™ باشد.

HEK-293 و همچنین گروه کنترل با واپرزووم- pEGFP-N1/**N1** (  $P < 0.0001$  ) ، گروه کنترل با **GenJet™** (  $P < 0.01$  ) و گروه کنترل با **Lipofectamine ۲۰۰۰** (  $P < 0.0001$  ) در **Vero** رده سلولی.

نتایج مطالعه ما همچنین نشان داد که لیپوفکتمین ۲۰۰۰ منجر به بیان EGFP بالاتری در هر دو رده سلولی در مقایسه با واپرزووم کاتیونیک VSV شد (  $P < 0.0001$  ) (**شکل ۱B**). واپرزووم VSV هیچ اختلاف معنی داری را در میزان بازده ترانسفکشن دو رده سلولی HEK-293 و



**شکل ۱)** ترانسفکشن سلول‌های HEK-293 و Vero توسط واپرزووم کاتیونیک VSV، لیپوفکتمین ۲۰۰۰ و GenJet™ ۲۰۰۰ پس از گذشت ۴۸ ساعت. **(A)** تصاویر میکروسکوپ فلورسنت، ۴۸ ساعت پس از ترانسفکشن با واپرزووم کاتیونیک VSV، لیپوفکتمین ۲۰۰۰ و GenJet™ ۲۰۰۰ و فلوسایتومتری بازده ترانسفکشن واپرزووم کاتیونیک VSV، لیپوفکتمین ۲۰۰۰ و GenJet™ ۲۰۰۰ در دو رده سلولی HEK-293 و Vero، ۴۸ ساعت پس از ترانسفکشن. هر ستون بیانگر میانگین و انحراف معیار در نمونه‌ها می‌باشد (  $P < 0.0001$  ،  $P < 0.01$  ،  $P < 0.05$  ،  $P < 0.01$  ،  $P < 0.0001$  بیانگر تفاوت‌های معنی دار بین گروه‌ها می‌باشد).

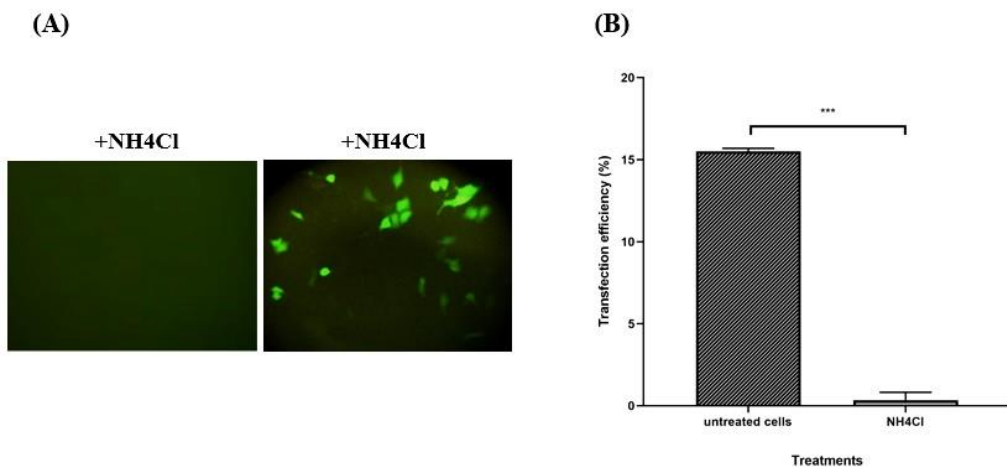
ورود ویروس‌های پوشش دار را به سلول‌های میزبان مهار می‌کند، در لیزوزوم‌ها تجمع یافته و pH داخلی را تحت تاثیر قرار می‌دهد (۱۷). همان طور که انتظار می‌رفت، در طول ۴۸ ساعت پس از ترانسفکشن با واپرزووم- pEGFP-N1 هیچ فلورسنتی در سلول‌های پیش تیمار شده با  $20 \text{ }\mu\text{M} \text{NH}_4\text{Cl}$  نبود.

### ارزیابی اثرات شرایط اسیدی بر بازده ترانسفکشن واپرزووم

در این مطالعه به منظور بررسی اثر  $\text{NH}_4\text{Cl}$  بر روی فعالیت منتقال ژن واپرزووم کاتیونیک VSV سلول‌های HEK-293، ۲۰ دقیقه قبل از ترانسفکشن با  $20 \text{ }\mu\text{M} \text{NH}_4\text{Cl}$  میلی مolar تیمار شدند. این عامل اسیدی شدن اندوزومی، راه

چشمگیری بیان EGFP بالاتری را در مقایسه با سلول‌های پیش تیمار شده با  $\text{NH}_4\text{Cl}$  نشان دادند (شکل ۲B) ( $P < 0.001$ ). این داده‌ها قویاً نشان می‌دهند که واستگی فعالیت فیوژن غشایی VSV-G به pH اسیدی در تحویل کارآمد pDNA به وسیله واپروزوم کاتیونیک VSV نقش بسزایی دارد.

EGFP در سلول‌هایی که با  $\text{NH}_4\text{Cl}$  تیمار نشده بودند، مشاهده شد (شکل ۲A). به منظور بررسی‌های کمی بیشتر، سلول‌ها جمع‌آوری و بهوسیله تکنیک فلوسایتوometri ارزیابی شدند. نتایج مقایسه بین سلول‌های تیمار نشده و تیمار شده با  $\text{NH}_4\text{Cl}$  با استفاده از آزمون استیوونت تیست (Student's t-test) در سطح  $P < 0.001$  اثر معنی داری را نشان دادند. سلول‌های تیمار نشده به طور

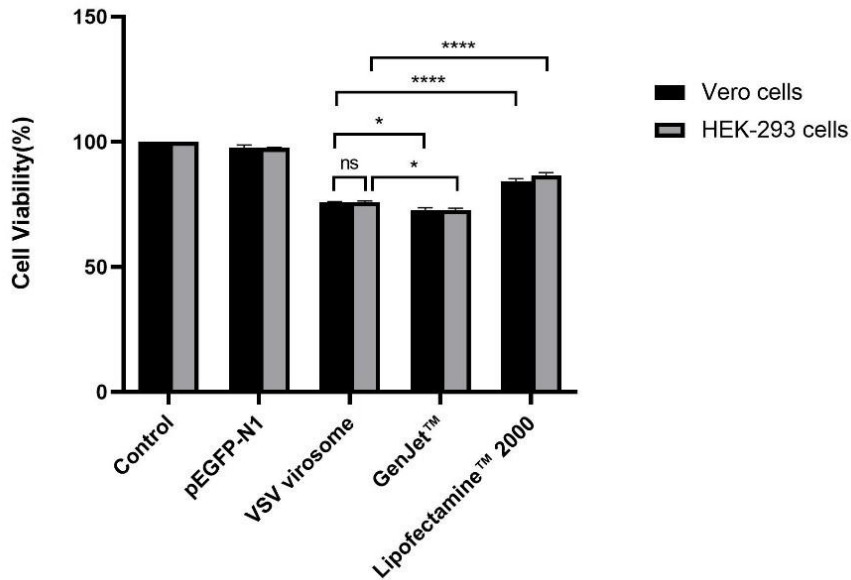


شکل ۲) تاثیر شرایط اسیدی بر بازده ترانسفکشن واپروزوم کاتیونیک VSV در رده سلولی HEK-293. (A) تصاویر میکروسکوپ فلورسنت، ۴۸ ساعت پس از ترانسفکشن رده سلولی HEK-293 تیمار شده و تیمار نشده با  $20 \text{ میلی مolar}$   $\text{NH}_4\text{Cl}$ . (B) تجزیه و تحلیل فلوسایتوometri بازده ترانسفکشن در سلول‌های تیمار شده و تیمار نشده pEGFP-N1/GenJet™ ۴۸ ساعت پس از ترانسفکشن به وسیله واپروزوم. هر ستون بیانگر میانگین و انحراف معیار در نمونه‌ها می‌باشد.  $*P < 0.001$  بیانگر تفاوت آماری معنی دار بین بازده ترانسفکشن سلول‌های تیمار شده و تیمار نشده با  $\text{NH}_4\text{Cl}$  می‌باشد.

(P). به علاوه، درصد زنده‌مانی سلولی در گروه ترانسفکت شده با واپروزوم pEGFP-N1 به طور چشمگیری در هر دو رده سلولی در مقایسه با گروه pEGFP-N1/GenJet™ و HEK-293 و Vero بود ( $P < 0.05$ ). در دو رده سلولی HEK-293 و Vero، هیچ اختلاف معنی داری بین زنده‌مانی سلول‌ها در گروه ترانسفکت شده با واپروزوم pEGFP-N1 مشاهده نشد. از سوی دیگر، سلول‌های ترانسفکت شده با پلاسمید به تنها‌یی هیچ سمتی قابل ملاحظه‌ای را نشان ندادند. در این مطالعه، زنده‌مانی سلول‌های کنترل ترانسفکت نشده، ۱۰۰ درصد در نظر گرفته شد. بر اساس نتایج بدست آمده از این آزمون، به نظر می‌رسد که واپروزوم کاتیونیک VSV سنتز شده در مقایسه با معرفه‌ای ترانسفکشن تجاری مانند GenJet™، یک نانوحامل ایمن و کارآمد برای سلول‌های با منشاء مختلف باشد.

### ارزیابی سمتیت سلولی

درصد زنده‌مانی سلول‌های Vero و HEK-293 در مدت زمان ۴۸ ساعت پس از ترانسفکشن با واپروزوم-/pEGFP-N1/۲۰۰۰ و pEGFP-N1/GenJet™ با استفاده از تست MTT و آنالیز آزمون‌های آماری واریانس (ANOVA) و متعاقب آن تست توکی (Tukey) (در شکل ۳) نشان داده شده است. تمام گروه‌های ترانسفکت شده بیش از ۷۰ درصد زنده‌مانی سلولی را از خود نشان دادند. نتایج ما تفاوت‌های چشمگیری را بین تمام گروه‌ها در مقایسه با گروه کنترل در هر دو رده سلولی مورد مطالعه نشان داد ( $P < 0.001$ ). همچنین، لیپوفکتمین pEGFP-N1/۲۰۰۰ منجر به افزایش قابل توجه زنده‌مانی سلولی به نسبت واپروزوم pEGFP-N1 در هر دو رده سلولی شد ( $P < 0.001$ ).



شکل ۳) درصد زنده‌مانی سلولی در دو رده سلولی HEK-293 و Vero ۴۸ ساعت پس از ترانسفکشن با واپروزوم/pEGFP-N1/GenJet™ و pEGFP-N1/۲۰۰۰ متری از آزمون MTT با استفاده از آزمون  $P < 0.0001$  و  $P < 0.05$ ، بیانگر تفاوت های معنی دار بین گروهها می‌باشد.

۴۸

گیرنده‌های LDL (LDL-Rs) به عنوان گیرنده‌های VSV در نظر گرفته شده اند که تا به امروز بحث های VSV زیادی را ایجاد کرده است. در این مورد، پانتروپیسم احتمالاً ناشی از بیان شایع اعضای خانواده LDL-R است (۲۳). از این رو، واپروزوم کاتیونیک مشتق شده از VSV می‌تواند به عنوان یک سیستم انتقال ژن کارآمد برای انواع مختلف سلول‌ها در نظر گرفته شود. لذا در مطالعه حاضر سعی بر آن شد تا برای اولین بار بازده ترانسفکشن واپروزوم کاتیونیک مشتق شده از ویروس VSV به عنوان یک نانوحامل هیبریدی جهت غلبه بر موانع ناقلین ویروسی و غیر ویروسی و دو معرف ترانسفکشن تجاری، از جمله HEK-293 و Vero با منشاء مختلف به طور مقایسه‌ای مورد بررسی قرار گیرد. بدین منظور از واپروزوم کاتیونیک VSV سنتز شده در مطالعه قبل (۱۵) و معرف‌های لیپوفکتمین pEGFP-N1 ۲۰۰۰ و GenJet™ ۲۰۰۰ جهت انتقال پلاسمید pEGFP-N1 به سلول‌های هدف استفاده گردید. مطالعات متعددی در زمینه کاربرد واپروزوم مشتق شده از ویروس VSV جهت انتقال موثر ژن‌های مختلف به رده‌های سلولی با منشاء‌های مختلف صورت گرفته است. در مطالعه Shoji و همکارانش، از VSV-G جهت آماده سازی واپروزوم به عنوان مدلی برای انتقال pEGFP-N1 به سلول‌های BHK-21 استفاده گردید. نتایج حاصل از مطالعه آنها، بیانگر سطوح مشابهی

## بحث

در میان سیستم‌های تحویل ژن مختلف، ناقلین ویروسی منجر به بازدهی ترانسفکشن بالاتری می‌شوند اما به دلیل سمتی و محدودیت‌های تولید در مقیاس بالا، هنوز هم با مشکلاتی مواجه هستند. ناقلین غیر ویروسی سمتی کمتری داشته و مقرر به صرفه‌تر می‌باشند. با این حال، بازدهی ترانسفکشن کمتری را از خود نشان داده‌اند. در نتیجه، برای غلبه بر این موانع، نیاز مبرم به توسعه سیستم‌های تحویل ژن موثرتر و ایمن‌تر در زمینه ژن درمانی وجود دارد (۲۰، ۲۱). واپروزوم‌ها، غشاء‌های بازسازی شده ویروس‌های پوشش دار، نانوحامل‌های هیبریدی امید پنهانی هستند که ویژگی‌های ناقل‌های ویروسی و غیر ویروسی را ترکیب کرده تا به عنوان یک سیستم انتقال موثر برای انواع مختلف سلول‌ها عمل کنند. این ترجیح به دلیل توانایی اتصال طبیعی به گیرنده‌های سطح سلول، اندوسیتوز، گلیکوپروتئین‌های غشایی با خاصیت فیوژن بالا، زیست سازگاری و سمتی کم است (۲۲). در میان ویروس‌های متعدد، تروپیسم سلولی گستردۀ ویروس VSV به دلیل گیرنده‌های VSV-G در همه جا موجود در تمام غشاهای بیولوژیکی، آن را به یک کاندید مناسب برای سنتز یک واپروزوم کاتیونیک تبدیل کرده است (۱۴). گیرنده‌های مختلفی مانند فسفاتیدیل سرین، فسفاتیدیل اینوزیتول و

ترانسفکشن، سلول های HEK-293 با  $20\text{ }\mu\text{M}$   $\text{NH}_4\text{Cl}$  در مolar پیش تیمار شدند. نتایج ما هیچ بیان EGFP را در سلول هایی که از قبل با  $\text{NH}_4\text{Cl}$  تیمار شده بودند نشان نداد که این نتایج همسو با نتایج بدست آمده از مطالعه Mohammadzadeh و همکارانش بود. آنها نیز نشان دادند که در حضور  $\text{NH}_4\text{Cl}$ ، حتی ۴۵ دقیقه پس از ترانسفکشن، هیچ فلورسنتی در سلول های ترانسفکت شده مشاهده نشد (۲۵). همچنین در مطالعات دیگر (۱۷, ۲۶)، نیز اثبات گردید که ترانسفکشن سلول ها توسط واپروزوم، با پیش تیمار سلول ها به وسیله  $20\text{ }\mu\text{M}$   $\text{NH}_4\text{Cl}$  میگردد که این نتایج مهار اسیدی شدن اندازوم با استفاده از  $\text{NH}_4\text{Cl}$  را تایید کرد. مقایسه بازدهی ترانسفکشن واپروزوم و معرفهای تجاری که در این مطالعه به صورت همزمان بر روی دو رده سلولی مختلف انجام شد، از جمله مزایای مطالعه ما نسبت به دیگر مطالعات ذکر شده میباشد، چرا که با این مقایسه نشان دادیم واپروزوم کاتیونیک VSV با ارائه ویژگی های ناقلین ویروسی و غیر ویروسی به عنوان یک نانوحامل هیبریدی عمل کرده و راندمان و بازدهی ترانسفکشن قابل قبولی در مقایسه با معرفهای تجاری موجود در بازار از خود نشان داده است. از طرفی، ارزیابی انجام شده در این مطالعه صرفا در شرایط آزمایشگاهی- (In-Vitro) و تنها با پلاسمید بیان کننده EGFP بوده است. در نتیجه مطالعات و بررسی های بیشتری در این زمینه در داخل بدن (In-Vivo) و با ژن های متعددی باید صورت پذیرد تا بتوان به یک ارزیابی کامل دست پیدا کرد.

## نتیجه گیری

نتایج آزمایشگاهی این مطالعه مقایسه‌ای شواهدی از ویژگی های غیر سیتوکسیک و کارایی واپروزوم کاتیونیک VSV برای تحویل pDNA به سلول های با منشاء مختلف ارائه می کند. همچنین نتایج نشان داد که کارایی انتقال ژن واپروزوم کاتیونیک VSV به طور قابل توجهی بالاتر از GenJet<sup>TM</sup> در هر دو رده سلولی بود، در حالی که لیپوفکتمین ۲۰۰۰ بیشترین کارایی ترانسفکشن را در بین تمام گروههای مورد آزمایش نشان داد. در این مطالعه، گام مهمی در جهت توسعه یک سیستم انتقال ژن نوآورانه و ایمن برای رده های سلولی مختلف برداشته شده است. با این حال، ارزیابی های بیشتری در زمینه کاربرد واپروزوم کاتیونیک VSV به عنوان یک ناقل هیبریدی جهت انتقال موثر ژن در داخل بدن مورد نیاز است.

از ترانسفکشن به وسیله واپروزومها در مقایسه با لیپوزوم-های کاتیونیک (لیپوفکتمین) بود (۲۴). در مطالعه ای دیگر که توسط Mohammadzadeh و همکاران در سال ۲۰۱۶ انجام شد، واپروزوم کاتیونیک VSV جهت انتقال بکمید بیان کننده GFP به سلول های حشرات (Sf9) مورد ارزیابی قرار گرفت. نتایج آنها قابلیت و توانایی واپروزوم VSV را در انتقال pDNA به سلول حشرات نشان داد (۲۵). در مطالعه دیگری از Mohammadzadeh و همکارانش در سال ۲۰۱۶، واپروزوم کایمیریک آنفلوانزا حاوی VSV-G با هدف ارتقای بازده ترانسفکشن سنتز گردید. آنها از این واپروزوم VSV-N1 به رده سلولی pEGFP-N1 استفاده کردند. نتایج آنها نشان داد که واپروزوم کایمیریک بازده ترانسفکشن بالاتری را در مقایسه با واپروزوم آنفلوانزا به تنهایی از خود نشان داده است (۲۶). همراستا با مطالعات انجام شده، داده های حاصل از مطالعه حاضر نشان دهنده عملکرد موفق و موثر واپروزوم کاتیونیک مشتق شده از VSV در انتقال pEGFP-N1 و بیان EGFP در سلول های با منشاء مختلف بود. بالاترین سطح ترانسفکشن با استفاده از لیپوفکتمین ۲۰۰۰ بدست آمد. از سوی دیگر، بیان EGFP در هر دو رده سلولی ترانسفکت شده توسط واپروزوم VSV و GenJet<sup>TM</sup> به طور چشمگیری در مقایسه با گروه کنترل افزایش یافته است. با توجه به نتایج بدست آمده، بازده ترانسفکشن بالاتر واپروزوم VSV در مقایسه با معرف تجاری GenJet<sup>TM</sup> در هر دو رده سلولی احتمالا به دلیل وجود گیرنده های VSV-G در اکثر غشا های سلولی است که به طور قابل توجهی مکان های اتصال واپروزوم کاتیونی را افزایش می دهند (۲۶). علاوه بر این، VSV-G میتواند آزادسازی اندازومی را نیز در pH اسیدی افزایش دهد (۲۷). از سوی دیگر، نتایج سنجش سمیت سلولی واپروزوم/pEGFP-N1/۲۰۰۰، لیپوفکتمین pEGFP-N1/GenJet<sup>TM</sup>/۲۰۰۰ در سلول های HEK-293 و Vero با نتایج به دست آمده از بازدهی انتقال ژن سازگار بود. بیشترین تعداد سلول های زنده در سلول های ترانسفکت شده با لیپوفکتمین ۲۰۰۰ مشاهده شد. همچنین، زنده مانی سلولی در سلول های ترانسفکت شده با واپروزوم کاتیونیک VSV در مقایسه با سلول های ترانسفکت شده با GenJet<sup>TM</sup> به طور قابل توجهی بالاتر بود. با توجه به این یافته ها، واپروزوم کاتیونیک VSV دارای خواص غیر سیتوکسیک قابل قبولی برای عمل به عنوان یک سیستم انتقال ژن هیبریدی می باشد. در نهایت در این مطالعه، به منظور ارزیابی بازده ترانسفکشن واپروزوم در شرایط اسیدی، قبل از

## منابع

1. Amani A, Kabiri T, Shafiee S, Hamidi A. Preparation and characterization of PLA-PEG-PLA/PEI/DNA nanoparticles for improvement of transfection efficiency and controlled release of DNA in gene delivery systems. *Iran J Pharm Res.* 2019;18 (1):125.
2. Yamano S, Dai J, Moursi AM. Comparison of transfection efficiency of nonviral gene transfer reagents. *Mol Biotechnol.* 2010;46 (3):287-300.
3. Asadikaram G, Poustforoosh A, Pardakhty A, Torkzadeh-Mahani M, Nematollahi MH. Niosomal virosome derived by vesicular stomatitis virus glycoprotein as a new gene carrier. *Biochem Biophys Res Commun.* 2021;534 980-7.
4. Wu P, Chen H, Jin R, Weng T, Ho JK, You C, Zhang L, Wang X, Han C. Non-viral gene delivery systems for tissue repair and regeneration. *J Transl Med.* 2018;16 (1):1-20.
5. Medina-Kauwe L, Xie J, Hamm-Alvarez S. Intracellular trafficking of nonviral vectors. *Gene Ther.* 2005;12 (24):1734-51.
6. Kalra N, Dhanya V, Saini V, Jeyabalan G. Virosomes: as a drug delivery carrier. *Adv Drug Deliv Rev.* 2013;1 (1):29-35.
7. Kennedy RB, Ovsyannikova IG, Palese P, Poland GA. Current challenges in vaccinology. *FRONT IMMUNOL.* 2020;11:1181.
8. Shaikh SN, Raza S, Ansari MA, Khan G, Athar SHM. Overview on virosomes as a novel carrier for drug delivery. *J drug deliv ther.* 2018;8 (6-s):429-34.
9. Almeida J, Edwards DC, Brand C, Heath T. Formation of virosomes from influenza subunits and liposomes. *Lancet.* 1975;306 (7941):899-901.
10. Ge P, Tsao J, Schein S, Green TJ, Luo M, Zhou ZH. Cryo-EM model of the bullet-shaped vesicular stomatitis virus. *Science.* 2010;327 (5966):689-93.
11. Roche S, Albertini A, Lepault J, Bressanelli S, Gaudin Y. Structures of vesicular stomatitis virus glycoprotein: membrane fusion revisited. *Cell Mol Life Sci.* 2008;65 (11):1716-28.
12. Ci Y, Yang Y, Xu C ,Shi L. Vesicular stomatitis virus G protein transmembrane region is crucial for the hemi-fusion to full fusion transition. *Sci Rep.* 2018;8 (1):1-11.
13. Finkelshtein D, Werman A, Novick D, Barak S, Rubinstein M. LDL receptor and its family members serve as the cellular receptors for vesicular stomatitis virus. *Proc Natl Acad Sci.* 2013;110 (18):7306-11.
14. Hastie E, Cataldi M, Marriott I, Grdzelishvili VZ. Understanding and altering cell tropism of vesicular stomatitis virus. *Virus Res.* 2013;176 (1-2): 16-32.
15. Ahmadi D, Zargar M, Zolfaghari MR, Kazemimanesh M, Ghaemi A. Construction of Cationic Virosome Derived from Vesicular Stomatitis Virus as a Promising Candidate for Efficient Gene Delivery to the Central Nervous System. *Neurosci J Shefaye Khatam.*2020;8 (2):72-81.
16. Prather P, McGinn T, Claude P, Liu-Chen L, Loh HH, Law P-Y. Properties of a κ-opioid receptor expressed in CHO cells: interaction with multiple G-proteins is not specific for any individual G $\alpha$  subunit and is similar to that of other opioid receptors. *Brain Res Mol Brain Res.* 1995;29 (2):336-46.
17. Ohkuma S, Poole B. Fluorescence probe measurement of the intralysosomal pH in living cells and the perturbation of pH by various agents. *Proc Natl Acad Sci.* 1978;75 (7):3327-31.
18. Mosmann T. Rapid colorimetric assay for cellular growth and survival: application to proliferation and cytotoxicity assays. *J Immunol Methods.* 1983;65 (1-2):55-63.

- 51
19. Mehrbod P, Abdalla MA, Njoya EM, Ahmed AS, Fotouhi F, Farahmand B, Gado DA, Tabatabaian M, Fasanmi OG, Eloff JN. South African medicinal plant extracts active against influenza A virus. *BMC complementary and alternative medicine*. 2018;18:1-10.
  20. Manjila SB, Baby JN, Bijin EN, Constantine I, Pramod K, Valsalakumari J. Novel gene delivery systems. *Int J Pharm Investig*. 2013;3 (1):1.
  21. Zu H, Gao D. Non-viral vectors in gene therapy: Recent development, challenges, and prospects. *The AAPS journal*. 2021;23 (4):78.
  22. Cech PG, Aebi T, Abdallah MS, Mpina M, Machunda EB, Westerfeld N, Stoffel SA, Zurbriggen R, Pluschke G, Tanner M. Virosome-formulated Plasmodium falciparum AMA-1 & CSP derived peptides as malaria vaccine: randomized phase 1b trial in semi-immune adults & children. *PloS one*. 2011;6 (7):e22273.
  23. Finkelshtein D, Werman A, Novick D ,Barak S, Rubinstein M. LDL receptor and its family members serve as the cellular receptors for vesicular stomatitis virus. *Proc Natl Acad Sci* 2013;110 (18):7306-11.
  24. Shoji Ji, Tanihara Y, Uchiyama T, Kawai A. Preparation of virosomes coated with the vesicular stomatitis virus glycoprotein as efficient gene transfer vehicles for animal cells. *Microbiology and immunology*. 2004;48 (3):163-74.
  25. Mohammadzadeh Y, Gholami S, Rasouli N, Sarrafzadeh S, Seyed Tabib NS, Samiee Aref MH, Abdoli A, Biglari P, Fotouhi F, Farahmand B. Introduction of cationic virosome derived from vesicular stomatitis virus as a novel gene delivery system for sf9 cells. *J Liposome Res*. 2017;27 (2):83-9.
  26. Mohammadzadeh Y, Rasouli N, Aref MHS, Tabib NSS, Abdoli A, Biglari P, Saleh M, Tabatabaeian M, Kheiri MT, Jamali A. A novel chimeric influenza virosome containing vesicular stomatitis G protein as a more efficient gene delivery system. *Biotechnol Lett*. 2016;38 (8):1321-9.
  27. Barsoum J, Brown R, McKee M, Boyce FM. Efficient transduction of mammalian cells by a recombinant baculovirus having the vesicular stomatitis virus G glycoprotein. *Hum Gene Ther*. 1997;8 (17):2011-8.